

# MINIMALITÉ DES SOUS-VARIÉTÉS TOTALEMENT GÉODÉSQUES EN GÉOMÉTRIE FINSLERIENNE

G. BERCK

RÉSUMÉ. Nous montrons que les sous-variétés totalement géodésiques d'une variété de Finsler sont minimales pour le volume de Holmes-Thompson. Pour la mesure de Hausdorff, des contre-exemples à ce résultat sont connus (voir [3]).

## 1. INTRODUCTION

L'étude des notions d'aires et de volume sur les espaces normés et les variétés de Finsler, initiée par Busemann, a récemment acquis un regain d'intérêt, bénéficiant notamment des apports de géométrie convexe, différentielle et intégrale (voir par exemple [1],[5], [9],[13], [17] et [3]). Contrairement au cas euclidien, plusieurs définitions naturelles d'aire et de volume coexistent dont deux se distinguent par leurs propriétés intéressantes. D'une part, les espaces normés et variétés de Finsler étant métriques, la mesure de Hausdorff est un choix naturel. D'autre part, le volume de Holmes-Thompson, introduit dans [15] pour des considérations purement géométriques, apparaît comme la notion adéquate pour généraliser aux espaces normés les formules classiques de géométrie intégrale (voir par exemple [5] et [17]). Une autre propriété renforce l'intérêt porté sur celui-ci : le volume de Holmes-Thompson d'une variété de Finsler est, à une constante près, le volume de Liouville de son fibré cotangent unitaire. Ceci ouvre la voie aux techniques symplectiques pour l'étude des propriétés géométriques de ce volume.

Equipé de notions d'aire, de volume, on est naturellement amené à étudier les sous-variétés minimales et, disposant aussi d'une norme, à comparer les problèmes variationnels uni et multi-dimensionnels. Des résultats intéressants pour le volume de Holmes-Thompson ont déjà été obtenus dans cette direction. Par exemple, dans [5] Álvarez et Fernandes montrent que, si la métrique est projective (c'est à dire si les géodésiques sont des droites), alors les  $k$ -densités de Holmes-Thompson sont des densités de Crofton, ce qui a pour conséquence que les  $k$ -plans affins sont minimaux (voir [6]). Par des techniques différentes, Burago et Ivanov prouvent dans [9] que les 2-disques affins d'un espace normés minimisent le volume de Holmes-Thompson parmi tous les disques immergés de même bords. Aussi, le 'filling theorem' d'Ivanov [16] a pour conséquence que les sous-variétés de dimension 2 totalement géodésiques d'une variété de Finsler sont minimales pour cette aire (voir [3]), tandis qu'Álvarez et Berck prouvent dans [3] qu'il en est de même pour les hypersurfaces totalement géodésiques.

Dans ce papier, nous prouverons le théorème suivant qui s'inscrit naturellement dans ce contexte :

**Théorème** *Toute sous-variété totalement géodésique d'une variété de Finsler est minimale pour le volume de Holmes-Thompson.*

En géométrie riemannienne, ce résultat est obtenu facilement. On montre que la courbure moyenne d'une sous-variété est la trace de la seconde forme fondamentale qui elle-même s'annule pour les sous-variétés totalement géodésiques.

Ce n'est par contre pas un résultat général en géométrie de Finsler, sous-entendu pour une 'bonne' notion de volume, mais est propre à la densité de Holmes-Thompson. En effet, dans [3], les auteurs présentent une famille de métriques de Finsler projectives pour lesquelles les plans affins, évidemment totalement géodésiques, ne sont pas tous minimaux pour la mesure de Hausdorff. De ce fait, aucun des résultats cités précédemment n'est valide pour cette mesure.

Il n'y a pas, en géométrie de Finsler, de seconde forme fondamentale adaptée au problème variationnel. Néanmoins, pour toute densité  $\phi$  et toute sous-variété  $N$ , on construira en chaque point de celle-ci un *covecteur de courbure moyenne*  $h$  avec la propriété que, pour toute variation lisse de  $N$ ,  $\alpha(s)$ , telle que  $\partial_s \alpha(0)$  est nul en dehors d'un compact de  $N$ ,

$$\frac{d}{ds} \left( \int_{\alpha(s)} \phi \right)_{|s=0} = \int_N h(\partial_s \alpha) \phi.$$

Il en résulte qu'une sous-variété est minimale si et seulement si ce covecteur est nul en tout point.

La construction de ce covecteur passe par la généralisation aux densités des *applications de Legendre* et *formes de Hilbert* bien connues en géométrie de Finsler. La principale différence avec ce cas classique tient dans le fait que, pour une densité donnée, ces applications et formes ne sont pas uniques. Il apparaîtra toutefois que le covecteur de courbure moyenne est bien défini.

Dans [10], Busemann et al. construisent, en chaque point de la sphère unité de la densité, une forme linéaire particulière que nous appellerons *forme de Busemann*. Celle-ci leur permet de montrer que la densité de Holmes-Thompson est localement convexe; de notre côté, elle servira à définir une application de Legendre et, par suite, une forme de Hilbert particulièrement bien adaptées à cette densité. La proposition 20, point fondamental dans la preuve du résultat principal quoique quelque peu technique, montrera que cette forme de Hilbert est étroitement liée à la forme de Hilbert associée à la norme. Puisque le covecteur de courbure moyenne est directement construit à partir de la forme de Hilbert, cela nous donnera en retour un lien direct entre les problèmes variationnels uni et multi-dimensionnels.

Ce papier s'articule suivant quatre sections. Nous commencerons par un rapide survol de la notion de densité et plus particulièrement de celle de Holmes-Thompson dans les espaces normés, suivi de la construction de la forme de Busemann et de la preuve *actualisée* (et largement inspirée de [9, pp.18-20]) de la locale convexité de cette densité. Le lemme de structure terminera cette partie sur une propriété du fibré unitaire attaché à une densité.

Nous introduisons dans la seconde partie les outils fondamentaux que sont les applications de Legendre et formes de Hilbert associées.

La section suivante sera consacrée au problème variationnel et à la notion de covecteur de courbure moyenne. Nous effectuerons ensuite le calcul explicite des covecteurs de courbure moyenne pour les courbes et surfaces de  $\mathbb{R}^3$  et montrons qu'on récupère dans ces cas la courbure des courbes et la courbure moyenne des surfaces. Nous verrons aussi le lien entre ce covecteur de courbure et la courbure des courbes d'une surface de Finsler telle que l'a définie Cartan dans [11].

Nous donnerons dans la dernière section la preuve de la proposition liant forme de Hilbert attachée à la norme et forme de Hilbert attachée à la densité de Holmes-Thompson, ensuite celle du théorème principal. Enfin, nous présenterons deux classes intéressantes de métriques de Finsler possédant des sous-variétés totalement géodésiques.

L'auteur aimerait particulièrement remercier J.C. Álvarez pour les nombreuses discussions fructueuses, ses conseils judicieux et pour lui avoir présenté ce problème de sous-variétés minimales; ainsi que P. Lambrechts pour ses multiples relectures attentives et ses remarques constructives.

## 2. DENSITÉS

**2.1. Densités.** Considérons un espace vectoriel réel  $V$  de dimension  $n$  et soit  $k \leq n$ . L'ensemble des  $k$ -vecteurs simples de  $V$ ,  $\Lambda_s^k V$ , est un cône dans  $\Lambda^k V$  appelé *cône de Grassmann*. Tout  $k$ -vecteur simple non nul  $a = v_1 \wedge \cdots \wedge v_k$  porte un unique  $k$ -plan vectoriel orienté de  $V$ ,  $\text{span}\{v_1, \dots, v_k\}$ , que nous noterons  $\langle a \rangle$ . Bien entendu, si  $t$  est un réel positif,  $\langle ta \rangle = \langle a \rangle$ . En conséquence, le cône de Grassmann est un cône sur la grassmannienne des  $k$ -plans vectoriels orientés de  $V$ . Nous noterons  $\langle a \rangle^*$  le  $k$ -espace vectoriel orienté dual de  $\langle a \rangle$ .

**Définition 1.** Une  $k$ -densité  $\phi$  sur un espace vectoriel réel  $V$  de dimension  $n$  ( $1 \leq k \leq n$ ) est une application  $\phi: \Lambda_s^k V \rightarrow [0, \infty)$  lisse sur  $\Lambda_s^k V \setminus \{0\}$ , positive ( $\phi(a) = 0 \Leftrightarrow a = 0$ ) et homogène de degré 1 ( $\phi(ta) = |t|\phi(a)$ ).

Remarque. Classiquement, la positivité n'est pas exigée et notre définition correspond aux  *$k$ -densités de volume lisses* de [7]. Nous perturbons quelque peu la terminologie par simplicité, puisque nous ne considérerons que ce type de densités. La notion de densité est à mettre en rapport avec celle d'intégrand paramétrique définie par Federer, voir [12, p. 515]. La principale différence, mais non l'unique, est qu'un intégrand paramétrique est défini sur tout l'espace vectoriel  $\Lambda^k V$ . Aussi, une densité est-elle la restriction au cône de Grassmann d'un intégrand paramétrique lisse, positif et pair.

La *sphère unité*  $S_\phi$  est l'ensemble des  $k$ -vecteurs simples pour lesquels  $\phi = 1$ . Notons que celle-ci est difféomorphe à la grassmannienne des  $k$ -plans orientés de  $V$ .

Géométriquement, les densités généralisent les notions d'aires et de volumes des espaces euclidiens. Le réel positif  $\phi(v_1 \wedge \cdots \wedge v_k)$  s'interprète comme le volume du parallélotope engendré par les vecteurs  $v_1, \dots, v_k$ . De plus, tout comme les formes différentielles, on peut intégrer les densités sur les sous-variétés (non nécessairement

orientées) et donc parler de  $k$ -aire d'une sous-variété compacte de dimension  $k$  pour une certaine  $k$ -densité.

La notion de densité s'étend naturellement aux variétés. On reprend, sur chaque espace tangent, la construction faite sur un espace vectoriel. On considère alors le fibré en cônes  $\Lambda_s^k TM \rightarrow M$  de fibre  $\Lambda_s^k T_x M$  au dessus de  $x$ .

**Définition 2.** Soit  $M$  une variété de dimension  $n$ . Une  $k$ -densité sur  $M$  est une application  $\phi: \Lambda_s^k TM \rightarrow [0, \infty)$  lisse hors de la section nulle et telle que pour tout  $x \in M$ , l'application  $\phi_x := \phi(x, \cdot): \Lambda_s^k T_x M \rightarrow [0, \infty)$  est une  $k$ -densité sur l'espace vectoriel  $T_x M$ .

Pour simplifier les notations, on notera  $\pi$  la projection  $\pi: \Lambda^k TM \rightarrow M$  ainsi que ses différentes restrictions : au fibré en cônes  $\pi: \Lambda_s^k TM \rightarrow M$  et au fibré unitaire  $\pi: S_\phi TM \rightarrow M$  où  $S_\phi TM = \{(x, a) \in \Lambda_s^k TM | \phi(x, a) = 1\}$ .

Nous nous intéresserons plus particulièrement aux densités sur les espaces de Minkowski : les espaces normés dont la sphère unité, lisse, a toutes ses courbures principales strictement positives pour une métrique euclidienne auxiliaire quelconque. Nous noterons par la suite  $B \subset V$  et  $S = \partial B$  les boules et sphères unités de  $(V, \|\cdot\|)$ . De même,  $B^*$  et  $S^*$  désigneront les boules et sphères unités duales de  $(V^*, \|\cdot\|^*)$ .

Classiquement, les espaces euclidiens possèdent, pour toute dimension  $k$ , une densité naturelle : celle pour laquelle le  $k$ -volume de tout cube unitaire de dimension  $k$  vaut 1. La situation se complexifie dans le cas des espaces normés non-euclidiens. Pour ceux-ci, diverses considérations géométriques ont motivé la construction de différentes densités. Parmi celles-ci, on trouve la densité de Busemann, donnant la mesure de Hausdorff des sous-variétés, et la densité de Holmes-Thompson, liée au volume de Liouville. Dans la suite, nous focaliserons notre attention sur cette dernière.

Cette densité est apparue dans différents contextes, avec des définitions différentes mais équivalentes (voir [7] pour les différentes définitions). Nous utiliserons ici la définition suivante qui remonte à Busemann et qu'il appelait alors *fonction de projection* [10].

**Définition 3.** Soit  $(V, \|\cdot\|)$  un espace de Minkowski. Soit  $a \in \Lambda_s^k V$  et considérons la projection  $P_a: V^* \rightarrow \langle a \rangle^*$  duale de l'injection  $\langle a \rangle \hookrightarrow V$ . La *densité de Holmes-Thompson* est définie par

$$\phi(a) = \frac{1}{\epsilon_k} \int_{P_a(B^*)} a,$$

où  $\epsilon_k$  est le volume euclidien de la boule unité euclidienne de dimension  $k$ .

**2.2. Forme de Busemann.** Dans [14], Harvey et Lawson introduisent la notion de calibration d'une densité par une forme différentielle fermée pour étudier les sous-variétés minimales. Nous utiliserons ici une définition plus restrictive, équivalente à la notion de convexité (locale) d'une densité (voir [10]).

**Définition 4.** Une  $k$ -forme  $\xi \in \Lambda^k V^*$  calibre une  $k$ -densité  $\phi$  en  $a \in \Lambda_s^k V$  si  $\xi(a) = \phi(a)$  et  $\xi \leq \phi$  sur le cône de Grassmann. On dira qu'elle calibre *localement* la densité en  $a$  si la seconde condition n'est satisfaite que dans un voisinage de  $a$ .

Dans [10], Busemann et al. montrent que les  $k$ -densités ( $1 \leq k \leq n - 1$ ) de Holmes-Thompson d'un espace de Minkowski de dimension  $n$  sont localement calibrées en chaque point de la sphère unité par une  $k$ -forme distinguée. Cette forme jouera un grand rôle dans la suite. Nous reprenons ici leur construction. Nous donnons ensuite, en langage moderne, la preuve de la calibration locale de la densité de Holmes-Thompson par cette forme (voir [10, p.24], [9, pp.18-20] pour la construction, [10, p.34] pour la preuve).

Pour  $a \in \Lambda_s^k V$  donné, considérons la projection  $P_a : V^* \rightarrow \langle a \rangle^*$  et soit  $\Sigma_a$  le lieu des points singuliers de la restriction  $P_a : S^* \rightarrow \langle a \rangle^*$  (voir figure 1). Puisque  $S^*$  est quadratiquement convexe,  $\Sigma_a$  est une sous-variété de dimension  $k$  de  $S^*$  et la restriction  $P_a : \Sigma_a \rightarrow \partial P_a(B^*)$  est un difféomorphisme. La forme de Busemann se définit comme suit :

**Définition 5.** Soit  $V$  un espace de Minkowski et  $a \in \Lambda_s^k V$ . La forme de Busemann en  $a$  est définie par

$$\beta_a(b) = \frac{1}{k\epsilon_k} \int_{\Sigma_a} i_\chi b$$

où  $i_\chi b$  est la contraction de  $b$  avec le champ d'Euler  $\chi(v) = v$ .

**Proposition 6** (Busemann et al.[10]). *La forme de Busemann calibre localement la densité de Holmes-Thompson.*

*Démonstration.* Considérons  $\tilde{\chi}$  le champ d'Euler sur  $\langle a \rangle^*$ . Un calcul en coordonnées donne  $d(i_{\tilde{\chi}} a) = ka$ . Cette égalité et le théorème de Stokes appliqués à la définition de la densité de Holmes-Thompson donnent

$$\phi(a) = \frac{1}{k\epsilon_k} \int_{\partial P_a(B^*)} i_{\tilde{\chi}} a.$$

On vérifie ensuite facilement que  $P_a^*(a|_{\langle a \rangle^*}) = a|_{V^*}$  et que  $DP_a(\chi) = \tilde{\chi}$ . En outre, puisque  $S^*$  est quadratiquement convexe, la restriction  $P_a : \Sigma_a \rightarrow \partial P_a(B^*)$  est un difféomorphisme. On obtient donc  $\phi(a) = \beta_a(a)$ .

Prenons  $b \in \Lambda_s^k V$  et considérons la projection  $P_b : V^* \rightarrow \langle b \rangle^*$ . Si  $b$  est suffisamment proche de  $a$ , alors  $P_b(\Sigma_a)$  est une sous-variété de  $\langle b \rangle^*$  difféomorphe à une sphère de dimension  $k - 1$ . Alors  $\beta_a(b)$  est le volume, mesuré avec  $b$ , du sous-ensemble  $A \subset \langle b \rangle^*$  de bord  $\partial A = P_b(\Sigma_a)$  :

$$\begin{aligned} \beta_a(b) &= \frac{1}{k\epsilon_k} \int_{\Sigma_a} i_\chi b \\ &= \frac{1}{\epsilon_k} \int_A b \end{aligned}$$

Par la convexité de  $B^*$ ,  $P_b(\Sigma_a) \subset P_b(B^*)$ . Donc,  $\beta_a(b) \leq \phi(b)$ , (voir figure 2).  $\square$

Remarque. Par contre, la densité de Holmes-Thompson n'est en général pas calibrée. En effet, pour des  $k$ -vecteurs  $c$  éloignés de  $a$ , il peut arriver que  $P_c(\Sigma_a)$  ne soit pas un plongement de  $\Sigma_a$  dans  $\langle c \rangle^*$ . Dans ce cas, les volumes doivent être comptés avec multiplicités et on perd en général l'inégalité. Pour des exemples explicites de telles situations où la forme de Busemann est de plus la seule forme qui calibre localement la densité, voir [9], [10], (voir figure 3).

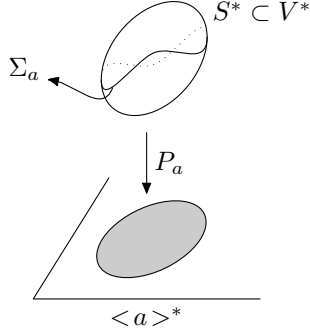


Figure 1.

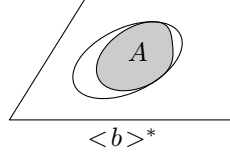


Figure 2.

La densité de Holmes-Thompson est localement calibrée ...

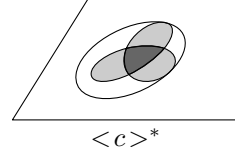


Figure 3.

... mais en général pas globalement calibrée.

**2.3. Lemme de structure.** Pour terminer cette section, nous présentons le lemme de structure. Celui-ci, et sa version duale, nous seront utiles pour les propositions 15 et 20.

Considérons tout d'abord un fibré différentiable  $\pi: E \rightarrow M$ . Nous appellerons *fibré vertical* le fibré  $\mathcal{V} \rightarrow E$  où  $\mathcal{V} = \ker D\pi \subset TE$  et *fibré normal* le fibré  $\mathcal{N} = TE/\mathcal{V} \rightarrow E$ . On notera  $\Gamma(\mathcal{V})$  et  $\Gamma(\mathcal{N})$  les espaces de sections de ces fibrés. Utilisant l'intégrabilité du fibré  $\mathcal{V}$ , on montre aisément que l'application suivante est bien définie et qu'il s'agit d'une dérivée covariante (voir [8] p. 32).

**Définition 7.** La dérivée covariante de Bott est l'application

$$\begin{aligned} \nabla: \Gamma(\mathcal{V}) \times \Gamma(\mathcal{N}) &\rightarrow \Gamma(\mathcal{N}) \\ (X, Y) &\mapsto \nabla_X Y = [X, \tilde{Y}] \text{ mod } \mathcal{V} \end{aligned}$$

où  $\tilde{Y}$  est un champ de vecteurs sur  $E$  tel que  $\tilde{Y} \text{ mod } \mathcal{V} = Y$ .

Comme toute dérivée covariante, celle-ci s'étend à n'importe quel produit tensoriel de  $\mathcal{N}$ . Notons  $L_X$  la dérivée de Lie d'un champ de tenseurs par rapport au champ de vecteurs  $X$ , on a les dérivées covariantes suivantes :

$$\begin{aligned} \nabla: \Gamma(\mathcal{V}) \times \Gamma(\Lambda^k \mathcal{N}) &\rightarrow \Gamma(\Lambda^k \mathcal{N}), \nabla_X Y = L_X \tilde{Y} \text{ mod } \mathcal{V} \\ \nabla: \Gamma(\mathcal{V}) \times \Gamma(\Lambda^k \mathcal{N}^*) &\rightarrow \Gamma(\Lambda^k \mathcal{N}^*), \nabla_X Y = L_X \tilde{Y} \text{ mod } \mathcal{V}^* \end{aligned}$$

En particulier, considérons le fibré  $\pi: E = \Lambda^k TM \rightarrow M$ . Nous noterons, comme précédemment,  $\mathcal{V} = \ker D\pi$  le fibré vertical et  $\mathcal{N} = (T\Lambda^k TM)/\mathcal{V}$  le fibré normal. La  $k^{\text{ème}}$  puissance extérieure du fibré normal possède une section canonique  $\sigma: \Lambda^k TM \rightarrow \Lambda^k \mathcal{N}, \sigma(x, a) = b \text{ mod } \mathcal{V}$  avec  $D\pi b = a$ . Ceci permet de définir pour tout  $(x, a) \in \Lambda^k TM$  une application linéaire

$$\begin{aligned} H_{(x,a)} &: \mathcal{V}_{(x,a)} \rightarrow \Lambda^k T_x M \\ v &\mapsto D\pi_{(x,a)} \nabla_v \sigma \end{aligned}$$

Puisque le fibré  $E \rightarrow M$  est vectoriel, l'espace vertical en un point s'identifie naturellement à la fibre passant par ce point. Nous noterons  $I_{(x,a)}: \mathcal{V}_{(x,a)} \rightarrow \Lambda^k T_x M$  cet isomorphisme canonique.

**Lemme 8** (Lemme de structure). *En tout point  $(x, a) \in \Lambda^k TM$ , l'isomorphisme canonique  $I_{(x,a)}$  et l'application linéaire  $H_{(x,a)}$  coïncident.*

*Démonstration.* Soit  $(x, a) \in E$ ,  $v$  un vecteur vertical en  $(x, a)$  et  $\gamma: \mathbb{R} \rightarrow \pi^{-1}(\pi(x, a))$  une courbe verticale telle que  $\gamma(0) = (x, a)$  et  $\dot{\gamma}(0) = v$ . Alors, un calcul élémentaire en coordonnées montre que pour toute section  $Y \in \Gamma(\mathcal{N})$ ,

$$D\pi_{(x,a)}(\nabla_v Y) = \frac{d}{dt} D\pi(Y(\gamma(t)))|_{t=0}.$$

Le lemme de structure s'en déduit immédiatement en remarquant que, pour la section canonique  $\sigma$ ,  $D\pi(\sigma(x, a)) = a$ .  $\square$

Notons comme conséquence immédiate que si on se restreint au fibré unitaire d'une densité  $\phi$ , l'image de l'application linéaire  $H_{(x,a)}$  est alors le tangent de la sphère unité  $T_a S_\phi \subset \Lambda^k T_x M$ .

On peut faire une construction similaire dans le cas du fibré dual. Nous ne l'utiliserons, dans le théorème 20, que dans le cas du fibré cotangent. Nous ne présenterons donc que ce cas.

Notons  $I_{(x,p)}: \mathcal{V}_{(x,p)} \rightarrow T_x^* M$  l'isomorphisme canonique. Il existe sur  $T^* M$  une 1-forme canonique,  $\alpha \in \Omega^1(T^* M)$ ,  $\alpha_{(x,p)} = p \circ D\pi$ . Celle-ci s'annule sur le fibré vertical, on peut donc l'identifier à une section du dual du fibré normal :  $\underline{\alpha} \in \Gamma(\mathcal{N}^*)$ . En outre, en utilisant la formule de Cartan, on trouve :  $\nabla_X \underline{\alpha} = (di_X \alpha + i_X d\alpha) \bmod \mathcal{V}^*$ . Comme  $X$  est vertical, on a  $\nabla_X \underline{\alpha} = i_X d\alpha \bmod \mathcal{V}^*$ .

Comme dans le cas précédent, on construit alors l'application linéaire :

$$\begin{aligned} H_{(x,p)}^* & : \mathcal{V}_{(x,p)} \rightarrow T_x^* M \\ v & \mapsto D\pi_{(x,p)} i_v d\alpha \end{aligned}$$

On obtient enfin le lemme de structure dual :

**Lemme 9** (Lemme de structure dual). *En tout point  $(x, p) \in T^* M$ , l'isomorphisme canonique  $I_{(x,p)}$  et l'application linéaire  $H_{(x,p)}^*$  coïncident.*

### 3. APPLICATION DE LEGENDRE ET FORME DE HILBERT

**3.1. Application de Legendre.** L'application de Legendre est un outil important du calcul des variations. Dans le cas d'un espace normé  $(V, \phi)$ , de norme lisse, elle est définie par

$$\mathcal{L}: V \rightarrow V^*, v \mapsto \frac{1}{2}(d\phi^2)_v.$$

Il ne s'agit pas en général d'un difféomorphisme de  $V \setminus \{0\}$  vers  $V^* \setminus \{0\}$ . C'est toutefois le cas lorsque la forme bilinéaire symétrique définie par sa différentielle en tout vecteur  $v$  non nul

$$\begin{aligned} D_v \mathcal{L} & : T_v V \times T_v V \rightarrow \mathbb{R} \\ (x, y) & \mapsto D_v \mathcal{L}(x)(y) \end{aligned}$$

est définie positive. On dit alors qu'on a affaire à un problème régulier du calcul des variations. Du point de vue de la géométrie de Finsler, c'est aussi la définition intrinsèque, et usuelle, d'un espace de Minkowski.

Remarquons que l'application de Legendre est l'unique application  $\mathcal{L}: V \rightarrow V^*$  homogène de degré 1 telle que  $\mathcal{L}(v)(v) = \phi^2(v)$  et telle que  $\mathcal{L}(v)$  s'annule sur le

tangent  $T_v S_\phi$  pour tout vecteur unitaire  $v$ . Nous utiliserons cette caractérisation pour étendre cette notion aux densités quelconques.

**Définition 10.** Une application de Legendre pour une  $k$ -densité  $\phi$  sur  $V$  est une application  $\mathcal{L}: \Lambda_s^k V \rightarrow \Lambda^k V^*$  lisse sur  $\Lambda_s^k V \setminus \{0\}$  et telle que

- (1)  $\mathcal{L}$  est homogène de degré 1,
- (2)  $\mathcal{L}(a)(a) = \phi(a)^2$ ,
- (3)  $\mathcal{L}(a)$  s'annule sur  $T_a S_\phi$ .

Dans le cas  $k = n - 1$ , le cône de Grassmann est l'espace  $\Lambda^k V$  tout entier et  $S_\phi$  est une hypersurface de celui-ci. Il n'existe alors qu'une seule application de Legendre donnée par  $\mathcal{L}(a) = \frac{1}{2}(d\phi^2)_a$ . Dans le cas général, il en existe par contre une infinité et il convient alors d'en déterminer une bien adaptée à la densité. Pour Holmes-Thompson, c'est la forme de Busemann qui va nous fournir une application de Legendre adéquate :

**Proposition 11.** Une application de Legendre pour la densité de Holmes-Thompson  $\phi$  sur un espace de Minkowski est donnée par

$$\begin{aligned} \mathcal{L} & : \quad \Lambda_s^k V \rightarrow \Lambda^k V^* \\ a & \mapsto \phi(a)\beta_a \end{aligned}$$

où  $\beta_a$  est la forme de Busemann définie en 5.

*Démonstration.* Cette application est lisse car la norme duale d'un espace de Minkowski est lisse. On vérifie aussi de suite qu'elle est homogène. Ensuite, on sait que  $\beta_a(a) = \phi(a)$ , donc  $\mathcal{L}(a)(a) = \phi(a)^2$ . Il reste alors à montrer que  $\beta_a$  s'annule sur le tangent de la sphère unité. On sait que  $\beta_a$  calibre localement la densité  $\phi$  en  $a$ . Donc,  $a \in S_\phi$  est un minimum local de la fonction

$$\phi - \beta_a: \Lambda_s^k V \rightarrow \mathbb{R}.$$

Puisque  $\phi$  est constante sur sa sphère unité  $S_\phi$ , on en déduit que

$$\forall b \in T_a S_\phi, \beta_a(b) = \partial_b(\phi - \beta_a) = 0.$$

□

Remarquons que cette construction se généralise à toute densité localement calibrée.

On généralise naturellement aux densités sur les variétés :

**Définition 12.** Une application de Legendre pour une  $k$ -densité  $\phi$  sur une variété  $M$  est une application  $\mathcal{L}: \Lambda_s^k TM \rightarrow \Lambda^k T^*M$  lisse hors de la section nulle et telle que

- (1)  $\mathcal{L}$  se projette sur l'application identité sur  $M$  :  $\pi^* \circ \mathcal{L} = \pi$ .
- (2) en tout point  $x$  de  $M$ , l'application  $\mathcal{L}_x: \Lambda_s^k T_x M \rightarrow \Lambda^k T_x^* M$  définie par  $\mathcal{L}(x, a) = (x, \mathcal{L}_x(a))$  est une application de Legendre sur l'espace vectoriel  $T_x M$ .



**3.2. Forme de Hilbert.** A l'aide de l'application de Legendre, nous généralisons la notion classique de forme de Hilbert au cas des  $k$ -densités. Nous proposons deux définitions équivalentes. La première, généralisant la définition classique, facilitera dans la section suivante la preuve de l'invariance du covecteur de courbure moyenne vis à vis d'un choix d'application de Legendre; la seconde sera utile pour prouver le théorème 20.

**Définition 13.** Soit  $\mathcal{L}: \Lambda_s^k TM \rightarrow \Lambda^k T^*M$  une application de Legendre pour une  $k$ -densité  $\phi$ . La *forme de Hilbert* pour cette application est une  $k$ -forme sur le fibré unitaire,  $\omega_k \in \Omega^k(S_\phi TM)$ , définie par  $(\omega_k)_{(x,a)} = \mathcal{L}_x(a) \circ D\pi$ .

Il existe sur l'espace dual  $\Lambda^k T^*M$  une  $k$ -forme canonique  $\alpha_k$  définie par  $(\alpha_k)_{(x,\xi)} = \xi \circ D\pi^*$ . Ceci donne une définition alternative pour la forme de Hilbert.

**Définition 14 (Alternative).** Soit  $\mathcal{L}: \Lambda_s^k TM \rightarrow \Lambda^k T^*M$  une application de Legendre. La  $k$ -forme de Hilbert associée à cette application de Legendre est définie par  $\omega_k = (\mathcal{L}^* \alpha_k)|_{S_\phi TM}$ .

On vérifie immédiatement que ces deux définitions sont équivalentes.

La proposition suivante est une conséquence du lemme de structure. Rappelons qu'au fibré  $\pi: S_\phi TM \rightarrow M$  sont associés les fibrés vectoriels vertical  $\mathcal{V} = \ker D\pi \rightarrow S_\phi TM$  et normal  $\mathcal{N} = (TS_\phi TM)/\mathcal{V} \rightarrow S_\phi TM$ .

**Proposition 15.** Soit  $\phi$  une  $k$ -densité et  $\omega_k$  la forme de Hilbert associée à une application de Legendre. Soient  $u, v \in \mathcal{V}_{(x,a)}$  deux vecteurs tangents verticaux et  $b \in \Lambda^k T_{(x,a)} S_\phi TM$  tel que  $D\pi_{(x,a)} b = a$ . Alors, (1)  $i_u \omega_k = 0$ , (2)  $i_{u \wedge v} d\omega_k = 0$  et (3)  $d\omega_k(u \wedge b) = 0$ .

*Démonstration.* Le premier point est une conséquence immédiate de la définition de forme de Hilbert. Pour le second, il suffit de remarquer que la distribution des espaces tangents à la fibre est intégrable et qu'elle est contenue dans l'annulateur de  $\omega_k$ . Enfin, le dernier point est une conséquence du lemme de structure. Le premier point de la proposition assure que la forme de Hilbert s'identifie canoniquement à une section  $\underline{\omega}_k \in \Gamma(\Lambda^k N^*)$ . De plus, si  $\sigma \in \Gamma(\Lambda^k N)$  représente la section canonique, alors par définition de la forme de Hilbert,  $\underline{\omega}_k(\sigma) \equiv 1$ . Dès lors,

$$\begin{aligned} 0 &= \partial_u(\underline{\omega}_k(\sigma)) \\ &= (\nabla_u \underline{\omega}_k)(\sigma) + \underline{\omega}_k(\nabla_u \sigma) \end{aligned}$$

D'après le lemme de structure,  $D\pi(\nabla_u \sigma) \in T_a S_\phi$ , donc  $\underline{\omega}_k(\nabla_u \sigma) = 0$ . Alors  $(\nabla_u \underline{\omega}_k)(\sigma) = 0$ . Or,  $b \bmod \mathcal{V} = \sigma(x, a)$  et  $\nabla_u \underline{\omega}_k = i_u d\omega_k \bmod \mathcal{V}^*$ . On en déduit que  $i_u d\omega_k(b) = 0$ .  $\square$

#### 4. FORMULE DE PREMIÈRE VARIATION

Le *relevé tangent* d'une sous-variété orientée  $N^k \subset M$  est la sous-variété du fibré unitaire

$$\tilde{N} := \{(x, a) \in S_\phi TM \mid \langle a \rangle = T_x N\} \subset S_\phi TM.$$

Bien entendu, la projection  $\pi: \tilde{N} \rightarrow N$  est un difféomorphisme. Alors par définition de la forme de Hilbert,

$$\int_N \phi = \int_{\tilde{N}} \omega_k,$$

quelque soit le choix de la forme. Ceci nous permet d'aborder le problème variationnel dans le contexte classique des formes différentielles.

**Proposition 16.** *Soit  $\phi$  une  $k$ -densité sur une variété  $M$  et  $\omega_k$  une forme de Hilbert pour cette densité. La sous-variété  $N \subset M$  de dimension  $k$  est point critique du problème variationnel si et seulement si  $i_b d\omega_k = 0$  quelque soit le  $k$ -vecteur tangent  $b \in \Lambda_s^k T\tilde{N}$ .*

*Démonstration.* Soit  $f: N \times [0, 1] \rightarrow M$  une variation de  $N$  à support compact. Elle induit une variation des relevés tangents :  $\tilde{f}: \tilde{N} \times [0, 1] \rightarrow S_\phi TM$ . Soit  $X = \partial_t$  le champ de vecteurs correspondant sur  $S_\phi TM$ . Alors

$$\begin{aligned} \frac{d}{dt} \Big|_{t=0} \int_{N_t} \phi &= \frac{d}{dt} \Big|_{t=0} \int_{\tilde{N}_t} \omega_k \\ &= \int_{\tilde{N}_0} di_X \omega_k + i_X d\omega_k \\ &= \int_{\tilde{N}_0} i_X d\omega_k \end{aligned}$$

par Stokes puisque la variation est à support compact. Puisque que la variété  $N$  est point critique si et seulement si ceci est nul pour toute variation, on obtient le résultat.  $\square$

Il apparaît clairement au vu de la preuve précédente que la condition de minimalité est indépendante d'un choix de forme de Hilbert.

Plus généralement, la différentielle extérieure de la forme de Hilbert permet de construire, en tout point d'une sous-variété fixée, un covecteur de courbure moyenne qui mesure la première variation du volume lorsqu'on déforme la sous-variété. Pour une sous-variété orientée  $N \subset M$ , il est naturel, d'après ce qui précède, de considérer le covecteur  $i_b d\omega_k$  où  $b \in \Lambda_s^k T\tilde{N}$  est un  $k$ -vecteur tangent tel que  $\omega_k(b) = 1$ , c'est à dire tel que  $D\pi_{(x,a)}b = a$ . On vérifie comme précédemment que ce covecteur ne dépend pas d'un choix de forme de Hilbert.

**Proposition 17.** *Soit  $N \subset M$  une  $k$ -sous-variété et  $\omega_k, \omega'_k$  deux  $k$ -formes de Hilbert pour une densité. Alors,  $i_b d\omega_k = i_b d\omega'_k$  quelque soit le  $k$ -vecteur tangent  $b \in \Lambda_s^k T\tilde{N}$ .*

*Démonstration.* Quelles que soient les formes de Hilbert, on a toujours

$$\int_N \phi = \int_{\tilde{N}_0} \omega_k = \int_{\tilde{N}_0} \omega'_k.$$

Alors, pour une variation quelconque, en utilisant les mêmes notations que dans la preuve précédente,

$$\int_{\tilde{N}_0} i_X d\omega_k = \int_{\tilde{N}_0} i_X d\omega'_k.$$

Puisque cette égalité reste vérifiée pour toute variation, le résultat s'en suit.  $\square$

D'après le point (3) de la proposition 15, ce covecteur s'annule sur l'espace tangent à la fibre de  $S_\phi TM$ . Il se projette donc naturellement sur un covecteur défini sur  $M$ .

**Définition 18.** Soit  $\phi$  une  $k$ -densité sur une variété  $M$  et  $N \subset M$  une  $k$ -sous-variété orientée de  $M$ . Le covecteur de courbure moyenne de  $N$  en  $x \in N$  est défini par

$$h_x(u) = d\omega(\tilde{u} \wedge b)$$

où  $\tilde{u} \in T_{(x,a)}S_\phi TM$  tel que  $D\pi(\tilde{u}) = u$  et  $b \in \Lambda_s^k T_{(x,a)}\tilde{N}$  tel que  $D\pi b = a$ .

**Corollaire 19.** Une sous-variété est minimale si et seulement si son covecteur de courbure moyenne est nul en tout point.

Nous terminons cette section par quelques illustrations classiques.

**Courbes de  $\mathbb{R}^3$**  Considérons  $\mathbb{R}^3$  avec la métrique standard. Nous noterons  $(x, y, z, u, v, w)$  les coordonnées d'un point du fibré tangent  $T\mathbb{R}^3 \cong \mathbb{R}^3 \times \mathbb{R}^3$  où  $(x, y, z)$  sont les coordonnées du point et  $(u, v, w)$  celles du vecteur basé en ce point.

On vérifie sans peine que la forme de Hilbert,  $\omega_1 = (\frac{1}{2}d\|\cdot\|^2) \circ D\pi$ , est donnée par  $\omega_1 = \langle V|D\pi(\cdot) \rangle$  au point  $(X, V)$ . En coordonnées, il s'agit de la restriction au fibré unitaire de la forme  $udx + vdy + wdz$ .

Soit  $c(t)$  une courbe lisse paramétrisée par longueur d'arc. Son relevé tangent dans le fibré unitaire est simplement  $\tilde{c} = (c, \dot{c})$ , tandis que l'unique vecteur tangent à ce relevé qui se projette sur  $\dot{c}$  est  $U = (\dot{c}, k)$  où  $k = \ddot{c}$  est le vecteur normal multiplié par la courbure.

On calcule alors que  $d\omega_1(\cdot \wedge U)$  est la restriction au fibré unitaire de la forme  $\dot{c}_1 du + \dot{c}_2 dv + \dot{c}_3 dw - k_1 dx - k_2 dy - k_3 dz$ . D'après le point (3) de la proposition 15, sur le fibré unitaire,  $\dot{c}_1 du + \dot{c}_2 dv + \dot{c}_3 dw = 0$ . On obtient donc que le covecteur de courbure moyenne est, comme attendu,  $h = \langle -k|\cdot \rangle$ .

**Surfaces de  $\mathbb{R}^3$**  Considérons  $\mathbb{R}^3$  avec l'aire euclidienne. Comme d'habitude, nous identifions  $\Lambda^2 T\mathbb{R}^3$  avec  $T\mathbb{R}^3 \cong \mathbb{R}^3 \times \mathbb{R}^3$  en identifiant le 2-vecteur  $v \wedge w$  avec le produit vectoriel  $v \times w$ . Nous prendrons cette fois  $(x_1, x_2, x_3, v_1, v_2, v_3)$  comme coordonnées.

On vérifie de nouveau sans peine que la 2-forme de Hilbert  $\omega_2$  est la restriction au fibré unitaire de la forme  $v_1 dx_2 \wedge dx_3 + v_2 dx_3 \wedge dx_1 + v_3 dx_1 \wedge dx_2$ .

Soit  $f(r, s)$  une surface régulière. Son relevé tangent est  $\tilde{f} = (f, n)$  où  $n$  est le vecteur normal unitaire. Le covecteur de courbure moyenne est obtenu par la restriction au fibré unitaire de

$$d\omega_2(\cdot \wedge \frac{\partial_r \tilde{f} \wedge \partial_s \tilde{f}}{\|\partial_r \tilde{f} \wedge \partial_s \tilde{f}\}}),$$

c'est à dire, en utilisant l'expression  $n = \frac{\partial_r f \times \partial_s f}{\|\partial_r f \times \partial_s f\}}$ ,

$$\sum_{i=1}^3 n_i dv_i + \frac{(\partial_r n \times \partial_s f + \partial_r f \times \partial_s n)_i}{\|\partial_r f \times \partial_s f\}} dx_i.$$

De nouveau, le point (3) de la proposition 15 assure que, sur le fibré unitaire,  $\sum_i n_i dv_i = 0$ . De plus,  $\partial_r n = \alpha \partial_r f + \beta \partial_s f$  et  $\partial_s n = \gamma \partial_r f + \delta \partial_s f$  pour certaines fonctions  $\alpha, \beta, \gamma, \delta$ . Alors un simple calcul donne

$$\frac{\partial_r n \times \partial_s f + \partial_r f \times \partial_s n}{\|\partial_r f \times \partial_s f\|} = (\alpha + \delta)n = -Mn$$

où  $M$  est l'opposé de la trace de la différentielle de l'application de Gauss, c'est à dire la courbure moyenne de  $f$ . On en déduit que le covecteur de courbure moyenne est, comme attendu,  $h = -M \langle n | \cdot \rangle$ .

**4.1. Métrique de Finsler sur une surface.** Dans [11], Cartan utilise sa méthode d'équivalence pour étudier les invariants différentiels d'une surface munie d'une 1-densité. La forme de Hilbert apparaît naturellement dans sa démarche et lui permet notamment de définir la notion de courbure d'une courbe. Nous esquissons rapidement, dans le cas d'une métrique de Finsler, ses résultats et montrons le lien entre courbure et covecteur de courbure moyenne comme défini précédemment.

Considérons une surface de Finsler  $(M, \phi)$  orientée et rappelons que, par définition, la différentielle de l'application de Legendre définit pour chaque vecteur unitaire  $v \in T_x M$  un produit scalaire  $\langle \cdot | \cdot \rangle_v$  sur  $T_x M$ . Il existe donc sur le fibré unitaire deux 1-formes canoniques  $\omega_1$  et  $\omega_2$  définies par, pour  $X \in T_{(x,v)} S_\phi TM$ ,

$$D\pi(X) = \omega_1(X)v + \omega_2(X)w$$

où  $(v, w)$  est la base orientée de  $T_x M$  orthonormée pour le produit scalaire  $\langle \cdot | \cdot \rangle_v$ .

Notons que la forme  $\omega_1$  n'est autre que la forme de Hilbert et que les relevés tangents des courbes satisfont l'équation  $\omega_2 = 0$ .

Calculant les différentielles extérieures de ces formes, Cartan montre l'existence d'une 3<sup>ème</sup> forme canonique,  $\omega_3$ , linéairement indépendante des deux autres. Il prouve aussi que ces formes et leurs différentielles sont reliées par les *équations de structure de Cartan* :

$$\begin{cases} d\omega_1 = -\omega_2 \wedge \omega_3 \\ d\omega_2 = \omega_1 \wedge \omega_3 - I\omega_2 \wedge \omega_3 \\ d\omega_3 = -K\omega_1 \wedge \omega_2 - J\omega_2 \wedge \omega_3 \end{cases}$$

où  $I, J$  et  $K$  sont des fonctions sur le fibré unitaire caractéristiques de la métrique de Finsler. Il montre également que les extrémales sont ces courbes dont les relevés tangents sont solutions du système différentiel  $\omega_2 = \omega_3 = 0$ , ce qui revient à dire que le covecteur de courbure moyenne est nul d'après la première équation de structure.

Contrairement aux deux autres, la 3<sup>ème</sup> forme canonique ne s'annule pas sur l'espace tangent à la fibre du fibré unitaire. En conséquence, cette forme appliquée sur un vecteur tangent du relevé tangent d'une courbe donne une mesure de la différence entre le 2-jet de cette courbe et celui de la géodésique de même vecteur tangent. Notant cela, Cartan définit naturellement la courbure d'une courbe comme le rapport  $k = \frac{\omega_3(V)}{\omega_1(V)}$  où  $V$  est un vecteur tangent au relevé tangent de cette courbe. De la première équation de structure, on déduit que le covecteur de courbure moyenne d'une courbe est  $h = -k\omega_2$ .

## 5. MINIMALITÉ DES SOUS-VARIÉTÉS TOTALEMENT GÉODÉSINIQUES

Nous avons déterminé, à la proposition 11, une application de Legendre particulière pour la densité de Holmes-Thompson. Celle-ci définit en retour une  $k$ -forme de Hilbert que nous noterons  $\Theta_k$ . Nous allons montrer, dans la proposition 20, que cette forme et la 1-forme de Hilbert associée à la norme sont étroitement liées. Or, comme nous l'avons vu dans la section précédente, la minimalité des sous-variétés s'exprime par une condition sur la différentielle extérieure de la forme de Hilbert. Dès lors, cette proposition établit un pont entre les problèmes variationnels uni et multi-dimensionnels. Nous l'utiliserons comme élément clef dans la preuve du théorème principal.

Les 2 formes  $\omega_1 \in \Omega(STM)$  et  $\Theta_k \in \Omega^k(S_\phi TM)$  sont définies sur des variétés différentes. Pour les comparer, nous allons les ramener sur la variété  $M$ .

Considérons à cet effet une section locale  $\sigma: M \rightarrow S_\phi TM$ . Celle-ci définit une distribution de  $k$ -plans tangents orientés sur  $M: \{\langle \sigma(x) \rangle \mid x \in M\}$ . Prenant les vecteurs unitaires de ces  $k$ -plans tangents, nous définissons un sous-fibré du fibré unitaire:  $\pi_\sigma: U_\sigma = \{(x, v) \in STM \mid v \in \langle \sigma(x) \rangle\} \rightarrow M$ .

Nous allons montrer que le pull-back de  $\Theta_k$  par la section  $\sigma$  est, à une constante près, le push-forward par  $\pi_\sigma$  du produit extérieur de  $\omega_1$  et d'une puissance de  $d\omega_1$ . Plus précisément,

**Proposition 20.** *Soit  $\sigma: M \rightarrow S_\phi TM$  une section locale. Alors, les formes de Hilbert  $\Theta_k$  pour la  $k$ -densité de Holmes-Thompson et  $\omega_1$  pour la norme sont reliées par l'équation :*

$$\sigma^* \Theta_k = \frac{(-1)^{\frac{k(k+1)}{2}}}{k! \epsilon_k} \pi_{\sigma*} (\omega_1 \wedge (d\omega_1)^{k-1}).$$

Pour prouver ce théorème, nous utiliserons le lemme suivant (cfr prop 2.3, 2.4 de [4]).

**Lemme 21.** *Soit  $(V, \|\cdot\|)$  un espace de Minkowski, de sphère unité  $S$ . Soit  $W \subset V$  un sous-espace vectoriel et  $\Sigma_W$  le lieu des points singuliers de la projection  $P: S^* \subset V^* \rightarrow W^*$ . Alors,  $\Sigma_W = \mathcal{L}^1(W \cap S)$  où  $\mathcal{L}^1$  est l'application de Legendre associée à la norme.*

*Preuve de la proposition 20.* La fibre  $\pi_\sigma^{-1}(x) = \langle \sigma(x) \rangle \cap ST_x M$  est une sphère de dimension  $k-1$  dans  $\langle \sigma(x) \rangle$ . Puisque  $\langle \sigma(x) \rangle$  est naturellement orienté, la fibre  $\pi_\sigma^{-1}(x)$  l'est aussi.

Par le lemme précédent,  $\mathcal{L}^1(\langle \sigma(x) \rangle \cap ST_x M) = \Sigma_{\langle \sigma(x) \rangle} \subset ST_x^* M$ . De plus, par définition,  $\omega_1 = \mathcal{L}^{1*} \alpha_1$ .

Soit  $\Sigma := \bigcup_x \Sigma_{\langle \sigma(x) \rangle}$  et  $\pi_\Sigma: \Sigma \rightarrow M$  la restriction à  $\Sigma$  de la projection  $\pi: T^* M \rightarrow M$ . Alors,

$$\pi_{\sigma*} (\omega_1 \wedge d\omega_1^{k-1}) = \pi_{\Sigma*} (\alpha_1 \wedge d\alpha_1^{k-1}).$$

Par définition du push-forward,

$$\pi_{\Sigma*} (\alpha_1 \wedge d\alpha_1^{k-1})_x(b) = \int_{\pi_\Sigma^{-1}(x)} i_{\vec{b}} (\alpha_1 \wedge d\alpha_1^{k-1}).$$

Soit  $(x, p) \in \pi_\Sigma^{-1}(x)$ . Si  $(u_1, \dots, u_{k-1})$  est une base de  $(\ker D\pi_\Sigma)_{(x,p)}$ , alors, d'après la proposition 15,

$$i_{\tilde{b}}(\alpha_1 \wedge d\alpha_1^{k-1}) \left( \bigwedge_{j=1}^{k-1} u_j \right) = (-1)^{\frac{k(k+1)}{2}} (k-1)! (\alpha_1 \wedge \left( \bigwedge_{j=1}^{k-1} i_{u_j} d\alpha_1 \right) (\tilde{b})).$$

Utilisant le lemme de structure dual, on vérifie que ceci est encore égal à

$$(-1)^{\frac{k(k+1)}{2}} (k-1)! b \cdot \left( p \wedge \left( \bigwedge_{j=1}^{k-1} I(u_j) \right) \right).$$

De plus,  $(I(u_1), \dots, I(u_{k-1}))$  est une base de  $T_p \Sigma_{\langle \sigma(x) \rangle} \subset ST_x^* M$ . On obtient alors

$$\pi_{\Sigma*}(\alpha_1 \wedge d\alpha_1^{k-1})(b) = (-1)^{\frac{k(k+1)}{2}} (k-1)! \int_{\Sigma_{\langle \sigma(x) \rangle}} i_\chi b.$$

De ce fait,

$$\frac{(-1)^{\frac{k(k+1)}{2}}}{k! \epsilon_k} \pi_{\sigma*}(\omega_1 \wedge d\omega_1^{k-1}) = \beta_{\sigma(x)} \in \Lambda^k T_x^* M.$$

Enfin, puisque  $\Theta_{\sigma(x)} = \mathcal{L}(\sigma(x)) \circ D\pi = \beta_{\sigma(x)} \circ D\pi$ , on obtient  $(\sigma^* \Theta)_x = \beta_{\sigma(x)}$ .  $\square$

Nous pouvons à présent montrer le résultat principal :

**Théorème 22.** *Toute sous-variété totalement géodésique d'une variété de Finsler est minimale pour la densité de Holmes-Thompson.*

*Démonstration.* Soit  $x$  un point d'une sous-variété de Finsler  $M$  et soit  $N \subset M$  la sous-variété (locale) formée de toutes les géodésiques passant par  $x$  et tangentes à un  $k$ -plan fixé de  $T_x M$ . On va montrer que la courbure moyenne de  $N$  est nulle en  $x$ .

Prenons  $\sigma: M \rightarrow S_\phi TM$  une section locale telle que  $\sigma(N) \subset \tilde{N}$ . Alors, si  $\sigma(x) = (x, a)$ , le covecteur de courbure moyenne en  $x$  se calcule comme suit :

$$h_x = (\sigma^* d\Theta_k)_x(\cdot \wedge a),$$

où  $\Theta_k$  est la forme de Hilbert particulière associée à la transformation de Legendre définie par la forme de Busemann. Utilisant la proposition 20 et le fait que la différentielle extérieure commute avec le pull-back et le push-forward, on obtient

$$h_x(u) = \frac{(-1)^{\frac{k(k+1)}{2}}}{k! \epsilon_k} \pi_{\sigma*} (d\omega_1)^k (u \wedge a).$$

Prenons  $v \in ST_x N$  tel que  $(x, v) \in S_\sigma$ . Alors,  $v \wedge a = 0$  et donc  $a = v \wedge v_1 \wedge \dots \wedge v_{k-1}$  pour certains  $v_i$ .

Pour effectuer le push-forward, on est amené à calculer

$$(d\omega_1)_{(x,v)}^k (\tilde{u} \wedge \tilde{v} \wedge \tilde{v}_1 \wedge \dots \wedge \tilde{v}_{k-1} \wedge u_1 \wedge \dots \wedge u_{k-1})$$

où  $(u_1, \dots, u_{k-1})$  est une base de l'espace tangent à la fibre  $T_{(x,v)} \pi_\Sigma^{-1}(x)$  et  $\tilde{u}, \tilde{v}_i, \tilde{v}$  des relevés de  $v, v_i, u$  dans  $T_{(x,v)} S_\sigma$ . Par antisymétrie, c'est indépendant du choix des relevés.

Considérons l'unique géodésique  $\gamma$  passant par  $x$  et tangente à  $v$ . Par définition de la variété  $N$ , c'est une courbe de  $N$  et donc son relèvement tangent  $\tilde{\gamma}$  est une courbe

de  $S_\sigma$ . Comme relevé de  $v$ , on peut donc choisir  $\dot{\gamma}$ . Or  $\gamma$  étant une géodésique, elle est minimale et donc

$$d\omega_1(\dot{\gamma}, \cdot) = 0.$$

Puisqu'on peut faire ce raisonnement en tout point  $(x, v)$  de la fibre  $\pi_\sigma^{-1}(x)$ , on obtient

$$h_x = 0.$$

□

Nous terminons en présentant deux classes intéressantes de métriques de Finsler admettant des sous-variétés totalement géodésiques, l'une classique, l'autre beaucoup moins.

**5.1. Métriques projectives.** Dans son étude du 4<sup>ème</sup> problème de Hilbert, Busemann a construit une large classe de métriques de Finsler sur  $\mathbb{R}^n$  dont les géodésiques sont les droites. Son idée fut de considérer une mesure positive sur l'ensemble des hyperplans affins et de définir la longueur d'un segment comme la mesure de l'ensemble des hyperplans qui l'intersectent. Puisque tout hyperplan coupant un segment coupe aussi toute courbe joignant les extrémités de celui-ci, la longueur du segment sera nécessairement inférieure à la longueur de la courbe. Plus précisément,

**Théorème 23** (Busemann). *Si  $\Phi$  est une mesure lisse positive sur l'espace  $\mathcal{H}$  des hyperplans affins de  $\mathbb{R}^n$ , alors il existe une métrique de Finsler  $\phi$  sur  $\mathbb{R}^n$  telle que pour chaque courbe lisse  $\gamma : [a, b] \rightarrow \mathbb{R}^n$ ,*

$$\int_{\xi \in \mathcal{H}} \#(\xi \cap \gamma) \Phi = \int_\gamma \phi$$

où  $\#(\xi \cap \gamma)$  représente le nombre d'intersection de l'hyperplan  $\xi$  avec la courbe  $\gamma$ . De plus, les géodésiques de cette métrique de Finsler sont les droites affines.

Les espaces affins sont évidemment totalement géodésiques pour de telles métriques et donc minimaux pour la densité de Holmes-Thompson.

**5.2. Métriques sur  $\mathbb{C}P^n$  et  $\mathbb{H}P^n$ .** Dans leur article sur les submersions en géométrie de Finsler [4], Álvarez et Durán construisent des métriques de Finsler sur les espaces projectifs complexes et quaternioniques dont les géodésiques sont des cercles et pour lesquelles les  $\mathbb{C}P^1$  et  $\mathbb{H}P^1$ , et donc tous les sous-espaces projectifs, sont totalement géodésiques. Le grand intérêt de cet exemple par rapport au précédent est que ces métriques n'ont pas toutes les mêmes géodésiques.

Nous présentons leur construction sur les espaces projectifs complexes. Il suffira de remplacer le mot 'complexe' par 'quaternionique' dans ce qui suit pour obtenir une autre classe de métriques.

**Définition 24.** Une submersion  $\pi : M \rightarrow N$  entre deux variétés de Finsler est dite isométrique si en tout point de  $M$ , l'image de la boule unité par la différentielle de la projection est la boule unité au point image.

**Théorème 25** (Álvarez, Durán). *Soit  $\varphi$  une métrique de Finsler sur la sphère  $S^{2n+1} \subset \mathbb{C}^{n+1}$  invariante sous l'action de  $S^1$  et dont les géodésiques sont les grands*

cercles, alors il existe une unique métrique de Finsler  $\psi$  sur  $\mathbb{C}P^n$  telle que la fibration de Hopf,  $\pi : (S^{2n+1}, \varphi) \rightarrow (\mathbb{C}P^n, \psi)$ , soit une submersion isométrique. De plus, les géodésiques de cette métrique sont toutes des cercles et les  $\mathbb{C}P^1$  sont totalement géodésiques.

Nous donnerons les grands points de la preuve de ce théorème.

A l'aide de la construction de Busemann (sur la sphère), les auteurs construisent une classe de métriques de Finsler sur la sphère unité de  $\mathbb{C}^{n+1}$ , invariante par l'action de  $S^1$ , et dont les géodésiques sont les grands cercles. Fixons-en une et remarquons que, du fait de l'invariance sous l'action de  $S^1$ , les boules unités basées en des points d'une même fibre ont toutes la même image par la différentielle de la projection. Ceci définit alors une métrique de Finsler sur  $\mathbb{C}P^n$ , et par définition, la submersion entre ces variétés de Finsler est isométrique.

Notons que, comme conséquence immédiate de la définition de submersion isométrique, la différentielle de la projection décroît les normes. Forts de ce constat, les auteurs prouvent que les géodésiques de la variété image sont les projections de certaines géodésiques de la variété initiale qu'ils appellent *géodésiques horizontales*.

Les géodésiques de  $\mathbb{C}P^n$  sont donc les projections de certains grands cercles de  $S^{2n+1}$ . Or tout grand cercle étant dans un 2-plan complexe, sa projection est dans un  $\mathbb{C}P^1$ . Puisqu'ils sont soit disjoints, soit transverses, les  $\mathbb{C}P^1$  sont donc nécessairement totalement géodésiques.

Enfin, les auteurs prouvent que les géodésiques de ces métriques, nécessairement toutes fermées, sont des cercles.

#### RÉFÉRENCES

- [1] Álvarez, J.C., *Dual mixed volumes and isosystolic inequalities*, arXiv :math.SG/0408415 (2004).
- [2] ———, *Some problems on Finsler geometry*, Handbook of Differential Geometry **2** (à paraître).
- [3] ——— and Berck, G., *What is wrong with the Hausdorff measure in Finsler spaces*, arXiv :math. DG/0408413 (2004).
- [4] ——— and Durán, C.E., *Isometric submersions of Finsler manifolds*, Proc. of the Amer. Math. Soc. **29** (2001), 2409-2417.
- [5] ——— and Fernandes, E., *Crofton formulas for projective Finsler spaces*, Electronic Research Announcements of the AMS **4** (1998), 91-100.
- [6] ———, *Gelfand transforms and Crofton formulas*, préprint (2004).
- [7] ——— and Thompson, A.C., *Volumes on normed and Finsler spaces*, A sampler of Riemann-Finsler Geometry (Cambridge) (D. Bao, R. Bryant, S.S. Chern and Z. Shen, eds.), Cambridge University Press, (2004), 1-49.
- [8] Bott, R., *Lectures on characteristic classes and foliations*, Lecture Notes in Math. **279** (1972), 1-94.
- [9] Burago, D. and Ivanov, S., *On asymptotic volume of Finsler tori, minimal surfaces in normed spaces, and symplectic filling volume*, Ann. of Math. (2) **156** (2002), no. 3, 891-914.
- [10] Busemann, H., Ewald, G. and Shepard, G.C., *Convex bodies and convexity on Grassman cones : I-IV*, Math. Ann. **151** (1963), 1-41.
- [11] Cartan, E., *Sur un problème d'équivalence et la théorie des espaces métriques généralisés*, Mathematica **t.4** (1930), p. 114-136.



- [12] Federer, H., *Geometric Measure Theory*, Die Grundlehren der mathematischen Wissenschaften **153**, Springer-Verlag, New-York, (1969).
- [13] Gardner, R.J., *A positive answer to the Busemann-Petty problem in three dimensions*, Ann. of Math.(2) **140** :2 (1994), 435-447.
- [14] Harvey, R. and Lawson, H.B., *Calibrated geometries*, Acta Math. **148** (1982), 47-157.
- [15] Holmes, R.D. and Thompson, A.C., *N-dimensionnal area and content in Minkowski spaces*, Pacific J. Math. **85** (1979), 77-110.
- [16] Ivanov, S., *On two-dimensionnal minimal fillings*, St. Petersburg Math. J. **13** (2002), 17-25.
- [17] Schneider, R., *On the Busemann area in Minkowski spaces*, Beitr. Algebra Geom. **42** (2001), 263-273.

GAUTIER BERCK, UNIVERSITÉ CATHOLIQUE DE LOUVAIN, INSTITUT DE MATHÉMATIQUES PURES ET APPLIQUÉES, 2, CHEMIN DU CYCLOTRON, B-1348, LOUVAIN LA NEUVE

*E-mail address:* g.berck@math.ucl.ac.be